





- Carácter 10: relación largo x ancho del antenito 13 del macho: 0) 2 veces o más largo (fig.13); 1) menos de 1.90 más largo (fig.14).
- Carácter 11: triángulo ocelar, (POL x OOL): 0) más de 0.80; 1) menos de 0.80.
- Carácter 12: margen posterior del mesosterno, entre las coxas 2: 0) sin proyección (figs.21 y 24); 1) con proyección triangular (figs.22-23); 2) con proyección subcuadrada (figs.25-26).
- Carácter 13: uñas de la hembra: 0) todas dentadas (fig.18); 1) sólo la primera bífida (fig.17); 2) todas bífidas.
- Carácter 14: uñas del macho: 0) todas bífidas; 1) la primera sub-bífida (fig.19), las restantes dentadas; 2) todas dentadas.
- Carácter 15: última espina basitarsal del peine tarsal de la hembra: 0) subigual o más larga que el tarsito 2 (fig.17); 1) corta, 0.80 o menos del largo del tarsito 2 (fig.18).
- Carácter 16: relación largo del espolón apical interno de la tibia posterior por el largo del basitarsos, del macho: 0) menos de 0.65; 1) más de 0.65.
- Carácter 17: en el ala anterior, largo del margen anterior de la celda marginal por la distancia desde su extremo al ápice alar: 0) más larga (fig.20); 1) igual o más corta (fig.11 y 12).
- Carácter 18: extremo apical de la vena anal del ala posterior: 0) intersticial con el punto de origen de la cubital, o apenas desplazada tanto como el ancho de la vena (fig.12); 1) distal al origen de la cubital (fig.20).
- Carácter 19: forma del del tergito 1 (T1) en vista lateral: 0) Muy convexo desde la base (figs.29 y 31); 1) convexo después de la base (figs.27-28; 2) casi plano (figs.30 y 32).
- Carácter 20: forma de los segmentos abdominales del macho: 0) Redondeados; 1) dorsalmente planos.
- Carácter 21: forma de los lóbulos del extremo apical del edeago del macho: 0) no sobresalientes (figs.41-44); 1) sobresalientes y ensanchados (figs.39-40).
- Carácter 22: lóbulos del edeago del macho: 0) separados apicalmente (figs.39-42 y 44); 1) próximos (fig.43).
- Carácter 23: largo de los lóbulos parapeniales del macho: 0) no excediendo del largo del edeago (figs.39-44); 1) excediendo en mucho el largo del edeago.
- Carácter 24: posición de las alas en reposo: 0) extendidas; 1) plegadas longitudinalmente.
- Carácter 25: tres últimos segmentos del palpo maxilar: 0) similares en longitud y ancho al segmento 3; 1) más cortos que el segmento 3.
- Carácter 26: Pubescencia: 0) toda simple; 1) algunas setas del cuerpo, al menos sobre el metanoto, postnoto y propodeo, aplanadas y lanceoladas; 2) algunas setas del cuerpo, especialmente sobre el dorso torácico, meso y metapleura, superficie dorsal de la coxa posterior y el tergo 1, aplanadas y escamiformes.
- Carácter 27: relación largo por ancho del antenito 5 de la hembra: 0) antenitos largos, más de 3 veces (fig.15); 1) antenitos cortos, menos de 3 veces (fig.16).
- Carácter 28: relación largo por ancho del antenito 5 del macho: 0) largo, más de 2 veces (figs.13-14); 1) cortos, menos de 2 veces.
- Carácter 29: dorso de la tibia anterior: 0) sin espinas; 1) con espinas.
- Carácter 30: espinas ventrales del tarsito 5 de la hembra: 0) con una hilera de espinas; 1) sin espinas.
- Carácter 31: tarsito 5 y uñas de la pata anterior del macho: 0) asimétricos; 1) simétricos.
- Carácter 32: declive del propodeo: 0) largo y suavemente inclinado (fig.32); 1) corto y abruptamente inclinado (fig.31).
- Carácter 33: lado anterior de las celda submarginal 3: 0) ancho (figs.11 y 20); 1) 3 muy angosta, menos que la mitad del mismo lado de la submarginal 2 (fig.12).
- Carácter 34: placa subgenital del macho: 0) fuertemente quillada; 1) medialmente elevada, no quillada.
- Carácter 35: ganchos basales de la genitalia del macho: 0) simples (fig.44); 1) dobles (figs.39-43).
- Carácter 36: parámetros de la genitalia del macho: 0) con escama poco o nada prominente (figs.39-44); 1) con escama prominente.
- Carácter 37: porción media del prementón: 0) suavemente convexa, sin líneas carenadas; 1) con un par de líneas carenadas subparalelas, entre las cuales la superficie es plana (fig.10).
- De los 38 caracteres analizados, 8 fueron ya considerados por Shimizu (1994), quién determinó el estado plesiomórfico de los mismos porque es la condición que se encuentra en casi todos los Vespoidea, grupo que él propone como externo de Pompiloidea. Dichos caracteres son: margen posterior del postnoto (0) recto, espacio malar (5) corto, antena del macho (6) simple, posición de la vena anal del ala posterior (18) basal respecto al origen de la cubital, tres últimos segmentos del palpo maxilar (25) uniformes, pubescencia (26) simple, espinas sobre el lado inferior del tarsómero 5 de la

hembra (30) escasas y porción media del prementón (37) sin carenas ni protuberancias.

### Resultados y discusión

Del análisis cladístico resultó un árbol con fit 167.7 y una longitud de 78 pasos (fig. 45), donde los géneros *Sericopompilus*, *Episyron*, *Austrochares*, *Batozonellus* y *Poecilopompilus* constituyen un grupo monofilético, que se distingue por tener el margen posterior del postnoto arqueadamente ensanchado a cada lado de la línea media dorsal y nuevamente invaginado a la altura de los espiráculos del propodeo (0=1); la celda marginal en su lado anterior más corta que la distancia desde su extremo al ápice alar (17=1); las alas plegadas longitudinalmente en reposo (24=1) y la tibia anterior con espinas en el dorso (29=1); en las hembras las mandíbulas con 2 dientes (1=1); y en los machos la cabeza más ancha que alta (3=1), el largo del espolón apical interno por el largo del basitarso mayor de 0.70 (16=1), el tarsito 5 y las uñas de la pata anterior simétricas (31=1), la placa subgenital no quillada (34=1) y los ganchos basales de la genitalia dobles (35=1).

En el grupo *Episyron* de Shimizu se encontraron nuevos caracteres que permiten aclarar las relaciones entre los mismos. El margen superior del cípeo fuertemente sinuoso (2=1), las uñas de la hembra bífidas (al menos en el par anterior) (13=1 o 2), el dorso del abdomen casi plano en el macho (20=1), y la porción media del prementón con un par de líneas carenadas subparalelas (con superficie plana entre ellas) (37=1), apoyan la monofilia del grupo *Episyron*.

Evans (1950) indica que *Poecilopompilus* estaría más relacionado filogenéticamente con *Batozonellus*. En el cladograma obtenido se reafirma la mencionada relación por las siguientes sinapomorfias: el macho con cabeza muy ancha (3=2) y el peine basitarsal de la hembra con espinas cortas (15=1) (excepto en *P. algidus*, *P. rubricatus*, *P. eurytelus* y *P. victori*). Estos a su vez están relacionados con *Austrochares* por el vértice entre el extremo superior de los ojos muy arqueado (9=1), el mesosterno no proyectado hacia las coxas (12=0) y los últimos 3 segmentos del palpo maxilar más cortos que el segmento 3 (25=1).

La monofilia de *Poecilopompilus* está sustentada por la forma del postnoto que queda dividido en 2 porciones bien separadas por la fuerte invaginación media (0=3). Este carácter es menos evidente en *P. exquisitus* donde las dos porciones del postnoto se unen en el punto medio. Si bien los

resultados obtenidos confirman la monofilia del género, está debilmente apoyada, ya que si se desactiva el carácter 19 (forma del tergito 1) se obtienen 2 árboles con fit = 163 donde el género resulta parafilético (fig. 46).

En el apéndice II se muestran las relaciones entre las especies con las respectivas sinapomorfias. Estas se resuelven mejor cuando se considera el carácter 12 como aditivo, partiendo de la suposición de que habría un incremento en la proyección del mesosterno desde el estado 0 al 2. Hasta el momento no se han encontrado autopomorfias que sustenten la monofilia de *P. mixtus* y *P. decedens*.

### Conclusiones

1- El grupo *Episyron* + *Sericopompilus* es un grupo monofilético definido por 10 sinapomorfias.

2- La hipótesis de Shimizu sobre la monofilia de su grupo *Episyron* (*Austrochares*, *Batozonellus*, *Episyron* y *Poecilopompilus*), es confirmada por la presencia de 4 sinapomorfias (dos compartidas con dicho autor).

3- La estrecha relación entre *Poecilopompilus* y *Batozonellus*, propuesta por Evans (1950), es apoyada por nueva evidencia.

4- *Poecilopompilus* es un grupo monofilético caracterizado por el postnoto dividido en dos porciones debido a la fuerte invaginación del margen posterior. Dicha monofilia está debilmente sustentada, ya que eliminando el carácter 19 (forma del tergito 1), el género resulta parafilético.

### Cave para las especies del genero *Poecilopompilus* Howard

1. Celda marginal del ala anterior más larga que la distancia desde su extremo al ápice alar (fig.20). Macho con el margen apical del cípeo convexo (figs.2 y 4) ..... 2  
—Celda marginal del ala anterior igual o más corta que la distancia desde su extremo al ápice alar (fig.11). Macho con el margen apical truncado (fig.7) ..... 7
2. Al menos las uñas de la pata anterior bífidas; ancho de la invaginación media del postnoto subigual al largo de metanoto en su parte media (fig.38). Macho con los lóbulos del edeago ensanchados y sobresalientes (figs.39 y 40); espolón apical interno de la tibia posterior corto, hasta 0.65 x el largo del basitarso ..... 3  
—Todas las uñas de las patas dentadas o la 1° de los machos sub-bífida (Fig.19); invaginación

- media del postnoto más de 1.30 x el largo del metanoto en su parte media (figs.35 y 37). Macho (conocido de *P. eurymelus* y *P. victori*) con los lóbulos del edeago no ensanchados ni sobresalientes (fig.43); espolón apical interno de la tibia posterior desde 0.70 x el largo del basitarso ..... 4
3. Alas sin manchas, solamente el ápice infumado; margen posterior del mesosterno con 2 proyecciones triangulares, más notables en las hembras (fig.23); uñas de la pata anterior de las hembras bífidas (fig.17), las restantes dentadas; antenito 13 del macho hasta 1.90 tan largo como el ancho ..... *P. algidus* (Smith)  
—Ala anterior con 2 manchas, más tenues que el ápice alar; margen posterior del mesosterno recto (fig.24); todas las uñas de las patas, en ambos sexos bífidas; antenito 13 del macho más de 2.20 tan largo como ancho(fig.13) .....  
..... *P. rubricatus* (Smith)
4. Vértice, entre el extremo superior de los ojos, casi plano; en el basitarso la última espina del peine más larga que el tarsito 2; ocelos laterales muy próximos cerca, POL x OOL menos de 0.80 ..... *P. victori* Colomo de Correa  
—Vértice, entre el extremo superior de los ojos, muy arqueado (fig.3 y 5); en el basitarso la última espina del peine igual o más corta que el tarsito 2; ocelos laterales más separados, POL x OOL más de 0.80 ..... 5
5. Mitad apical del abdomen negro, el resto del cuerpo ferrugíneo; antenito 3 x DIS mayor de 1.30 ..... *P. decedens* (Smith)  
—Cuerpo pardo oscuro o negro con algunos diseños amarillos; antenito 3 x DIS hasta 1.30 ..... 6
6. 1 muy convexo (fig.28); margen posterior mesosterno, entre las coxas, con 2 proyecciones triangulares (fig.22) ..... *P. eurymelus* (Banks)  
—T1 poco convexo, casi plano (fig.30); margen posterior del mesosterno, entre las coxas, con 2 proyecciones subcuadradas (fig.25) .....  
..... *P. badius* Evans
7. Uñas de las patas de la hembra dentadas; color amarillo con diseños negros o negro con algunos diseños amarillos ..... 8  
—Uñas de las patas de la hembra bífidas; cabeza y torax negro con algunos diseños amarillos, abdomen y patas pardo ..... *P. exquisitus* (Fox)
8. Vértice muy arqueado entre el extremo superior de los ojos; DIS, en los machos, 0.90 a 1 x DII; propodeo generalmente atravesado por una banda posterior amarilla, y el declive corto y abruptamente inclinado (fig.31) .....  
..... *P. interruptus* (Say)  
—Vértice recto o suavemente arqueado entre el extremo superior de los ojos (fig.7 y 8); ojos moderadamente convergentes en los machos: DIS 0.80 a 0.95 x DII (fig.7); propodeo generalmente con una banda longitudinal amarilla o negra y el declive largo y suavemente inclinado (fig.32) ..... 9
9. Antenitos largos y delgados, más evidente en las hembras, así el ant.5 largo 2.50 a 2.80 x el ancho (fig.15); invaginación media del postnoto angosta: ancho 0.95 x el largo medio del metanoto; genitalia de los machos con largas setas en la mitad basal de los parámetros (fig.41) .....  
..... *P. mixtus* (Fabricius)  
—Antenitos cortos, en la hembra el ant.5 largo 2,50 a 2.80 x el ancho (fig.16); invaginación media del postnoto ancha, más de 1.20 x el largo medio del metanoto; genitalia de los machos con cortos pelos setosos en la mitad basal de los parámetros (fig.42) .....  
..... *P. familiaris* (Smith)

#### Agradecimientos

El autor desea agradecer al Dr. Pablo Goloboff quien gentilmente ha realizado la lectura crítica del manuscrito; al Dr. José Corronca por el constante asesoramiento en el análisis cladístico; a la Dra. Virginia Abdala por sus apreciadas sugerencias, a la Lic. Claudia Szimik por la disponibilidad ante las dificultades consultadas y a la Sra. Analía Dupuy por el pasado a tinta de los dibujos y la realización de algunos de ellos.

#### Bibliografía

- Ashmead, W. H. 1902. Classification of the fossorial, predaceous and parasitic wasps, or the superfamily Vespoidea. Canadian Ent. 34:79-88.
- Banks, N. 1911. Psammocharidae: Classification and descriptions. Jour. N. Y. Ent. Soc. 19:219-237.
- Banks, N. 1947. Studies of South American Psammocharidae. Part II. Bull. Mus. Comp. Zool. Harv., Cambridge, Mass., 99:371-486.
- Colomo de Correa, M. V., 1987. Revisión de las avispas argentinas del género *Tachypompilus*

- Ashmead (Hymenoptera: Pompilidae). Rev. Soc. Entomol. Argent., 44 (3-4):201-237.
- Colomo de Correa, M. V.** 1991. Contribución al conocimiento de los Pompilinae argentinos (Hymenoptera: Pompilidae). III. *Poecilopompilus victori* sp. n. Acta Zool. Lilloana 40 (1):53-57.
- Colomo de Correa, M. V.** 1992. Contribución al conocimiento de los Pompilinae argentinos (Hymenoptera: Pompilidae). IV. Observaciones sobre algunas especies de *Poecilopompilus* Howard. Rev. Soc. Entomol. Argent. 51 (1-4): 53-61.
- Evans H. E.**, 1950. A taxonomic study of the Nearctic spider wasps belonging to the tribe Pompilini (Hymenoptera: Pompilidae) Part I. Trans. Amer. Ent. Soc. 75:133-270.
- Evans, H. E.** 1966. A revision of the Mexican and Central American spider wasps of the subfamily Pompilinae (Hymenoptera: Pompilidae). Mem. Amer. Ent. Soc. 20: 442 pp.
- Goloboff, P.**, 1933a. Estimating character weights during tree search. Cladistics 9:83-91.
- Goloboff, P.** 1993b. Piwe: parsimony and implied weights. Programa para Ms-DOS y documentación, distribuidos por el autor.
- Haupt, H.**, 1950. Exploration du Parc National Albert, Mission G. F. de Witte 69:51-55.
- Shimizu, A.**, 1994. Phylogeny and classification of the family Pompilidae (Hymenoptera). Bull. Nat. His., n° 2:1-142.

### APENDICE I

Matriz de datos, 38 caracteres codificados para 15 taxones; polimorfismos: A: estado 0 y 1; B: estado 1 y 2.

	1	2	3
	0123456789	0123456789	0123456789
<i>Tachypompilus</i>	0000AA0000	AA0A000000	0000000000
<i>Sericopompilus</i>	1101A01AB0	0010211110	0011100001
<i>Austrochares</i>	1111111001	0002001100	1000110001
<i>Episyron</i>	2111110010	10120011A0	1001102001
<i>Batozonellus</i>	1112101111	-00101-110	----111001
<i>Poecilopompilus</i>			
<i>algidus</i>	3112201101	1011000010	1100110001
<i>badius</i>	311-101-11	-020-1-012	1--01100-1
<i>interruptus</i>	3112101001	0000011110	1000110001
<i>mixtus</i>	3112101000	1000011112	1000110001
<i>familiaris</i>	311B101000	1000011112	1000110111
<i>eurymelus</i>	311B101101	1010201011	1010110001
<i>victori</i>	3111101100	1110101012	1000110001
<i>rubricatus</i>	3112101101	0002000010	1100110001
<i>exquisitus</i>	211-101-00	-002-1-110	1--01100-1
<i>decadens</i>	311-101-01	-020-1-011	1--01100-1

### APENDICE II

Lista de sinapomorfias del árbol de máximo fit obtenido (Fig. 45).

#### *Sericopompilus*

unas macho (14): todas bifidas  $\ddot{A}y1A$  todas dentadas

largo espina apical peine basitarsal hembra x largo tarsito 2 (15): subigual o + larga  $\ddot{A}y1A$  + corta

lobulos apicales del edeago (22): separados  $\ddot{A}y1A$  proximos

espinas ventrales del tarsito 5 hembra (30): presentes  $\ddot{A}y1A$  ausentes

#### *Austrochares*

lado anterior de la submarginal 3 (33): ancho  $\ddot{A}y1A$  angosto

#### *Episyron*

margen posterior del postnoto (0): arqueado, no llega al margen anterior  $\ddot{A}y1A$  arqueado, llega al punto medio del margen anterior

largo x ancho del antenito 13 macho (10): 2 veces o  $> \ddot{A}y1A < 2$  veces

pubescencia (26): simple  $\ddot{A}y1A$  escamiforme

parameros genitalia macho c/escama prominente (36): aus.  $\ddot{A}y1A$  pres.

#### *Batozonellus*

margen apical del clipeo macho (7): truncado  $\ddot{A}y1A$  convexo

pubescencia (26): simple  $\ddot{A}y1A$  lanceolada

#### *Poecilopompilus*

##### *algidus*

DIS x DII hembra (4): 0.60 a 0.80  $\ddot{A}y1A < 0.60$

##### *badius*

margen apical del clipeo hembra (8): invaginado  $\ddot{A}y1A$  truncado

forma del T1 (19): convexo despues de la base  $\ddot{A}y1A$  casi plano

##### *interruptus*

declive del propodeo (32): largo y suave  $\ddot{A}y1A$  corto y abrupto

##### *mixtus*

no autapomorfias!

##### *familiaris*

largo x ancho antenito 5 hembra (27):  $> 3$  veces  $\ddot{A}y1A < 3$  veces

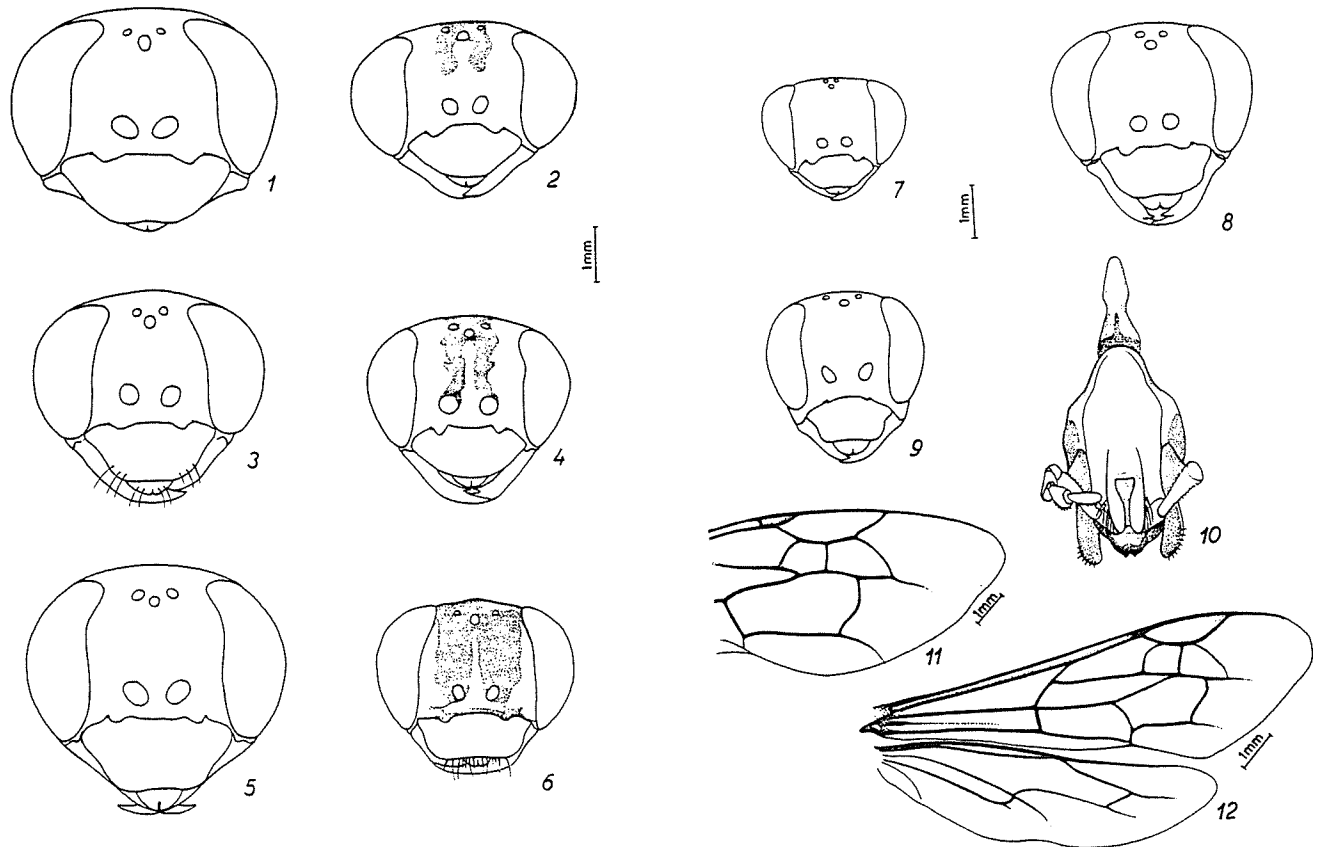
largo x ancho antenito 5 macho (28):  $> 2$  veces  $\ddot{A}y1A < 2$  veces

##### *eurymelus*

unas macho (14): 1ø sub-bifida  $\ddot{A}y1A$  todas dentadas

lobulos apicales del edeago (22): separados

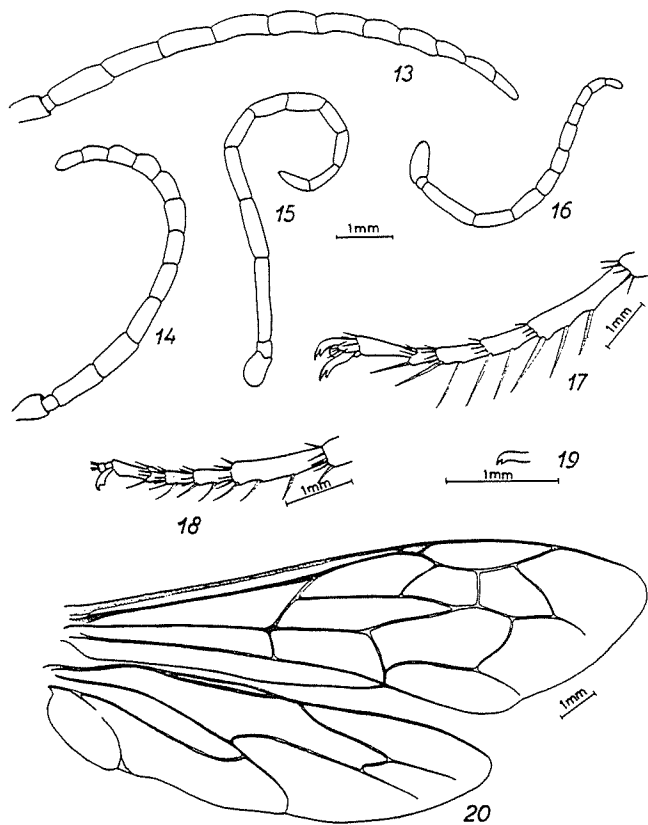
- Äy1A proximos  
*victori*  
 vertice (9): muy arqueado Äy1A casi recto  
 POL x OOL hembra (11):  $> 0.80 \text{ Äy1A} < 0.80$   
 forma del T1 (19): convexo despues de la base  
 Äy1A casi plano
- rubricatus*  
 largo x ancho del antenito 13 macho (10): 2 veces o  $> \text{Äy1A} < 2$  veces  
 unas hembra (13): 1ø bifida Äy1A todas bifidas
- exquisitus*  
 vertice (9): muy arqueado Äy1A casi recto
- P. decedens*  
 no autapomorfias!
- Nodo 15  
 unas hembra (13): todas dentadas Äy1A 1ø bifida  
 largo espolon apical interno de la tibia posterior x largo del basitarso macho (16):  $> 0.65 \text{ Äy1A} < 0.65$   
 forma del T1 (19): convexo despues de la base Äy1A convexo desde la base  
 forma de los lobulos del edeago (21): no sobresalientes Äy1A sobresalientes
- Nodo 17  
 vertice (9): muy arqueado Äy1A casi recto  
 forma del T1 (19): convexo despues de la base Äy1A casi plano
- Nodo 18  
 unas macho (14): tod bifidas Äy1A 1ø bifida
- Nodo 19  
 largo espina apical peine basitarsal hembra x largo tarsito 2 (15): + corta Äy1A subigual o + larga
- Nodo 20  
 largo de la celda marginal x distancia al apice alar (17): + corta o igual Äy1A + larga
- Nodo 21  
 largo x ancho del antenito 13 macho (10): 2 veces o  $> \text{Äy1A} < 2$  veces  
 forma del T1 (19): convexo desde la base Äy1A convexo despues de la base
- Nodo 22  
 margen posterior del postnoto (0): arqueado, llega al punto medio del margen anterior Äy1A arqueado, ambas porciones del postnoto separadas
- unas hembra (13): 1ø bifida, o todas bifidas Äy1A todas dentadas
- Nodo 23  
 margen posterior del postnoto (0): arqueado, no llega al margen anterior Äy1A arqueado, llega al punto medio del margen anterior
- Nodo 24  
 DTF x DFV macho (3): 1.1 a 1.9 Äy1A  $> 1.9$   
 largo espina apical del peine basitarsal hembra x largo tarsito 2 (15): subigual o + larga Äy1A + corta
- Nodo 25  
 vertice (9): casi recto Äy1A muy arqueado  
 proyeccion del mesosterno (12): triangular Äy1A ausente  
 3 ultimos segmentos del palpo maxilar x largo segmento 3 (25): igual Äy1A + corto
- Nodo 26  
 sinuosidad del clipeo (2): debil Äy1A fuerte  
 unas hembra (13): todas dentadas Äy1A 1ø bifida, o todas bifidas  
 abdomen macho (20): redondo Äy1A plano dorsalmente  
 carena de la porcion media del prementon (37): aus. Äy1A pres.
- Nodo 27  
 margen posterior del postnoto (0): no invaginado Äy1A invaginado, no llega al margen anterior  
 dientes de la mandibula (1): 1 Äy1A 2  
 DTF x DFV macho (3): hasta 1.00 Äy1A 1.1 a 1.9  
 largo espolon apical interno de la tibia posterior x largo del basitarso macho (16):  $< 0.65 \text{ Äy1A} > 0.65$   
 largo celda marginal x distancia al apice alar (17): + larga Äy1A + corta o igual  
 posicion de las alas en reposo (24): extendidas Äy1A plegadas  
 espinas sobre el dorso de la tibia frontal (29): aus. Äy1A pres.  
 tarsito 5 y unas de la pata anterior macho (31): asimetrico Äy1A sim.  
 quilla de la placa subgenital (34): pres. Äy1A aus.  
 ganchos basales (35): simples Äy1A dobles



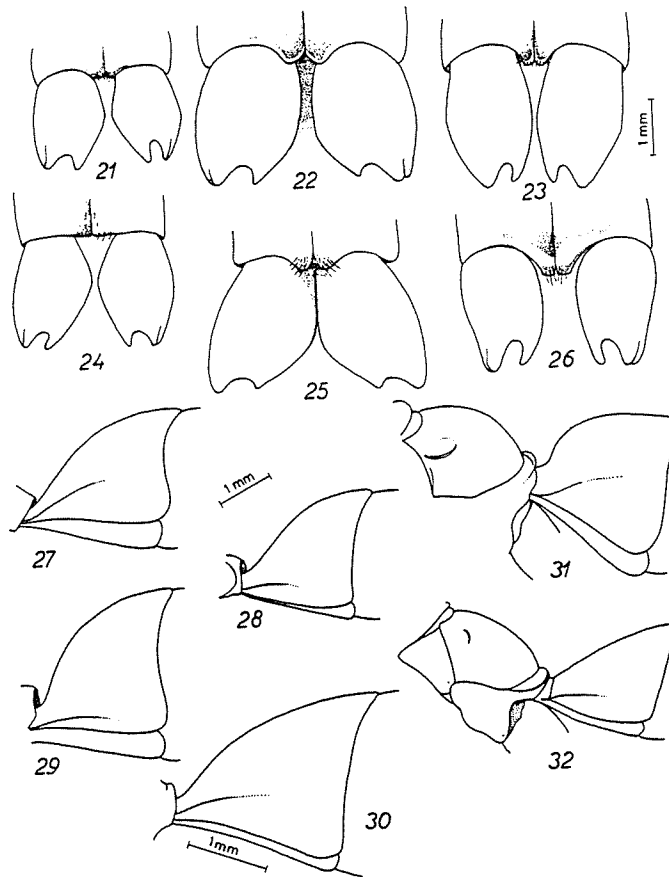
Figs. 1-6. Cabeza en vista anterior de: 1, *Poecilopompilus algidus fervidus* ♀; 2, *idem* ♂; 3, *P. badius* ♀; 4, *P. rubricatus* ♂; 5, *P. decedens* ♀; 6, *P. exquisitus* ♀.

Figs. 7-9. Cabeza, vista anterior, de: 7, *Poecilopompilus mixtus* ♂; 8, *idem* ♀; 9, *Tachypompilus mendozae* ♂. Fig. 10. Labio de la hembra, vista posterior, de: *Poecilopompilus* sp. (de Shimizu, 1994). Fig. 11. Ala anterior de *Poecilopompilus mixtus*. Fig. 12. Ala anterior y posterior de *Austrochaeres gastricus*.

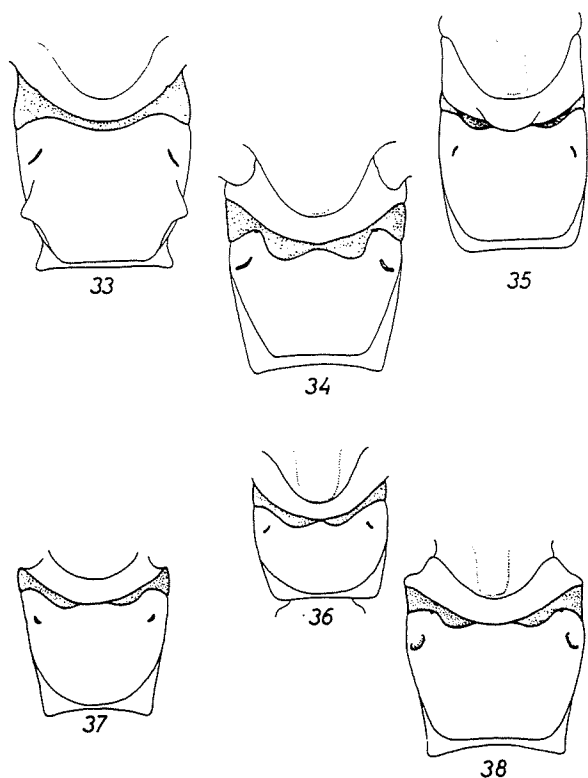




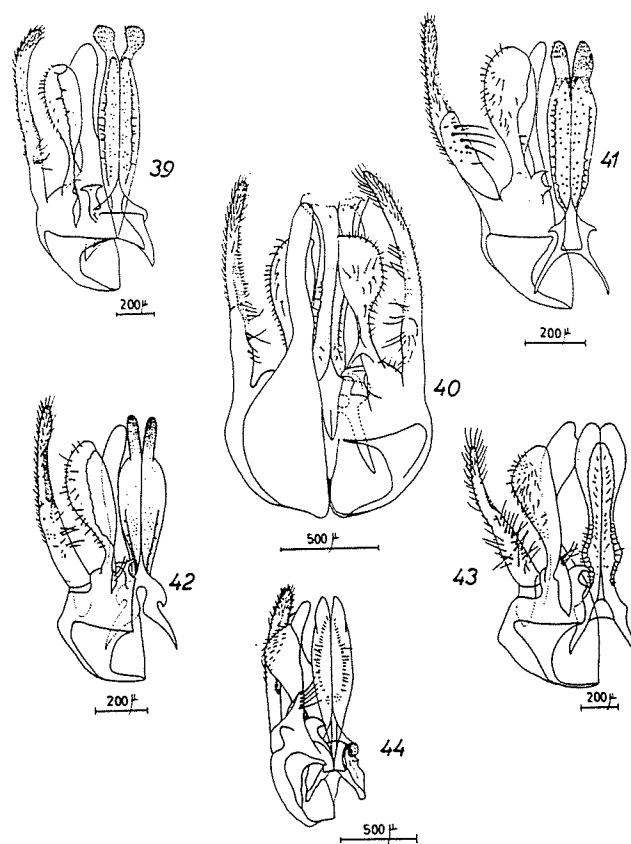
Figs. 13-16. Antena de: 13, *Poecilopompilus rubricatus* ♂; 14, *P. eurymelus* ♂; 15, *P. mixtus* ♀; 16, *P. familiaris* ♀. Figs. 17-18. Pata anterior de la hembra de: 17, *Poecilopompilus algidus fervidus*; 18, *P. mixtus*. Fig. 19. Ufla anterior del macho de *Poecilopompilus victori*. Fig. 20. Ala anterior y posterior de *Poecilopompilus algidus fervidus*,



Figs. 21-26. Mitad posterior del mesosterno y coxa 2 de la hembra de: 21, *Poecilopompilus mixtus*; 22, *P. eurymelus*; 23, *P. algidus fervidus*; 24, *P. rubricatus*; 25, *P. badius*; 26, *P. decedens*. Figs. 27-30. Tergito 1, vista lateral, de: 27, *Poecilopompilus decedens*; 28, *P. eurymelus*; 29, *P. algidus fervidus*; 30, *P. badius*. Figs. 31-32. Propodeo y tergito 1, vista lateral, de: 31, *Poecilopompilus interruptus*; 32, *P. mixtus*.



Figs. 33-38. Mitad posterior del mesosoma, vista dorsal, de: 33, *Tachypompilus mendozae*; 34, *Batozonellus* sp.; 35, *Poecilopompilus badius*; 36, *P. exquisitus*; 37, *P. eurymelus*; 38, *P. algidus fervidus*.



Figs. 39-44. Genitalia del macho, vista ventral (fig. 40, lado izquierda en vista dorsal y lado derecho en vista ventral). 39, *Poecilopompilus algidus fervidus*; 40, *P. rubricatus*; 41, *P. mixtus*; 42, *P. familiaris*; 43, *P. eurymelus*; 44, *Tachypompilus mendozae*.

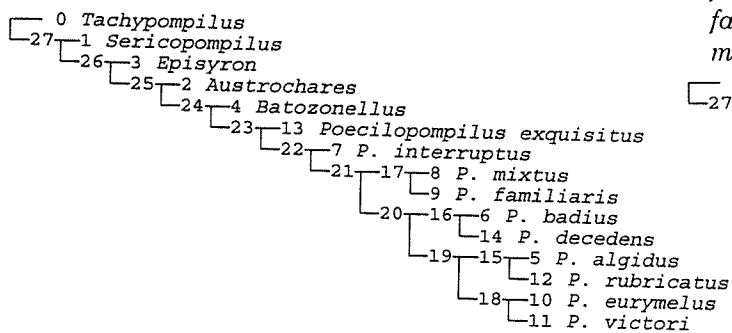


Fig. 45. Cladogramma de máximo "fit" obtenido.

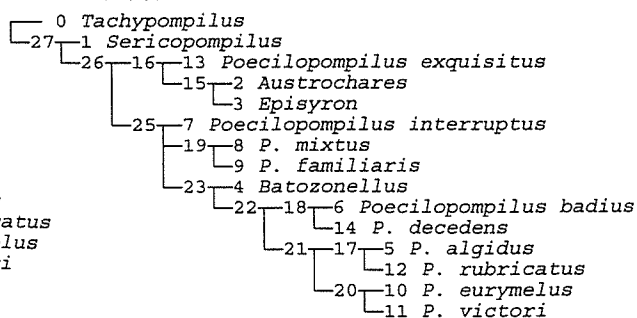


Fig. 46. Cladogramma de máximo "fit" obtenido desactivando el character 19.